Bis(trifluor phosphin)-bis(triphenyl stibin)-nickel(0)

Die bei der Darstellung von Ni (PF₃) ₃Sb (C₆H₅) ₃ anfallenden, beim Digerieren mit Hexan zurückbleibenden Kristalle werden aus Äthanol umkristallisiert. Ausb. 0,8 g (8,5% d. Th.). Schmp. 177°, Zers. 180°.

 $Ni(PF_3)_2(Sb(C_6H_5)_3)_2$ (940,8)

Ber. Ni 6,24 C 45,97 H 3,21, Gef. Ni 6,1 C 46,2 H 4,13.

Mol.-Gew.: 936 - 940 (massenspektrometrisch).

Herrn Prof. Dr. F. Fehér und Herrn Prof. Dr. E. O. Fischer danken wir für die großzügige Überlassung von Institutsmitteln. Ferner sprechen wir der Deutschen Forschungsgemeinschaft und dem Fonds der Chemischen Industrie für die finanzielle Unterstützung dieser Arbeiten unseren verbindlichsten Dank aus.

¹H-NMR-Untersuchungen an Substanzen mit Schwefel-Stickstoffund Phosphor-Stickstoff-Bindungen

L. SIEKMANN, H. O. HOPPEN und R. APPEL

Anorganisch-Chemisches Institut der Universität Bonn

(Z. Naturforschg. 23 b, 1156-1162 [1968]; eingegangen am 24. Februar 1968)

Die chemischen Verschiebungen der Protonen von Derivaten des S,S-Dimethylsulfodiimins wurden bestimmt. Bei der Messung der ³¹P-¹H-Kopplungskonstanten von phosphorhaltigen Derivaten wurde eine interessante Long-Range-Kopplung über zwei Heteroatome und 1 C-Atom festgestellt, die durch Doppelresonanz-Experimente bestätigt wird. Die anomale chemische Verschiebung und einige Austauscheffekte machen den Ylidcharakter der PCP-Gruppierung in zwei vom Dimethylsulfodiimin abgeleiteten Cyclophosphazenen wahrscheinlich.

Seit der Darstellung ¹⁻³ und eindeutigen Strukturaufklärung ^{2, 4} des *S,S*-Dimethyl-sulfodiimins wurden zahlreiche Derivate dieser Verbindung beschrieben ^{2, 5-11}, in denen der Iminwasserstoff durch Halogene, P-, S- und Si-organische Reste ersetzt ist. Die ¹H-NMR-Spektren dieser neuen Substanzklasse zeigen interessante Phänomene, über die an dieser Stelle berichtet werden soll.

I. Chemische Verschiebung

Die chemischen Verschiebungen der Protonen der untersuchten Substanzen gegen Tetramethylsilan sind in Tab. 1 zusammengefaßt.

Vergleicht man die Lage der Resonanzsignale der an den Sulfodiiminschwefel gebundenen Methylgruppen, so zeigt sich eine starke Abhängigkeit von der Art der Substituenten am Stickstoff. Gruppen, die die Elektronendichte erhöhen, bewirken eine stärkere Abschirmung der S-Methylprotonen. So verschiebt sich zum Beispiel das Absorptionssignal des freien S,S-Dimethyl-sulfodiimins (1) von $\delta = -3.13$ ppm nach $\delta = -2.91$ bis -2.92ppm im S,S-Dimethyl-N-äthyl-sulfodiimin 3 und in den siliciumorganischen Verbindungen 7, 8 und 9. Elektronenanziehende Substituenten am Stickstoff, wie Brom im N,N'-Dibrom-S,S-dimethyl-sulfodiimin (2) bewirken eine Verschiebung der Methylsignale nach niedrigerem Feld ($\delta = -3.33 \, \mathrm{ppm}$). Noch größer wird der Effekt bei Substituenten, die eine positive Ladung tragen, wie zum Beispiel in der Verbindung 4 ($\delta = -3.37 \text{ ppm}$).

Die chemische Verschiebung der S-Methyl-Prototonen der Verbindungen 10-17 gehorcht der gleichen Gesetzmäßigkeit: Positive Ladung des Moleküls (Salzbildung) verschiebt das Methylsignal nach

¹ J. A. Cogliano u. G. L. Braude, J. org. Chemistry 29, 1397 [1964].

² R. Appel, H. W. Fehlhaber, D. Hänssgen u. R. Schöllhorn, Chem. Ber. 99, 3108 [1966].

³ R. G. Laughlin u. W. Yellin, J. Amer. chem. Soc. 89, 2435 [1967].

⁴ N. C. Webb u. R. A. Gloss, Tetrahedron Letters [London] 11, 1043 [1967].

⁵ R. Appel u. D. Hänssgen, Angew. Chem. 79, 96 [1967].

⁶ L. Siekmann, Diplomarbeit, Bonn 1967.

⁷ R. APPEL, D. Hänssgen u. W. Müller, Chem. Ber. 101, 2855 [1968].

⁸ R. Appel, L. Siermann u. H. O. Hoppen, Chem. Ber. 101, 2861 [1968].

⁹ R. Appel u. D. Hänssgen, Angew. Chem. 79, 577 [1967].

¹⁰ R. Appel, D. Hänssgen u. B. Ross, Z. Naturforschg. 22 b, 1354 [1967].

¹¹ D. Hänssgen, Dissertation, Bonn 1968.

Nr.	Substanz	Lit.	δ[ppm] S-CH ₃	δ[ppm] NH	$\delta[ppm] \delta[ppm]$	Lösungs- mittel
1	H ₃ C N-H	1-4	-3,13	-4,62		$\mathrm{D}_2\mathrm{O}$
2	H ₃ C N-Br	5	-3,33			(D ₃ C) ₂ SO
3	H ₃ C N-C ₂ H ₅ H ₃ C N-H	6	-2,93	-1,60	$egin{array}{ccc} { m CH_2} & { m CH_3} \ -2,96 & -1,08 \ ({ m \ddot{A}th}) & ({ m \ddot{A}th}) \end{array}$	CCl ₄
.	H ₃ C N-S CH ₃ CH ₃ Br	2	$-3,\!37$	-4,37	${f S}\oplus ({f CH_3})_2 \ -2.94$	$(\mathrm{D_3C})_2\mathrm{SO}$
;	H ₃ C N-S CH ₃ 2® H ₃ C CH ₃ CH ₃ 2Br ^Θ	5	-4,27		S⊕(CH ₃) ₂ -3,32	$(\mathrm{D_3C})_2\mathrm{SO}$
	CH ₃ H ₃ C N-S-N S-N CH ₃ CH ₃ 2 B(Ph) G	7	-3,87	S	S ⊕−CH ₃ − 3,2 0	$(\mathrm{D_3C})_2\mathrm{SO}$
•	H ₃ C N-Si(CH ₃) ₃ H ₃ C N-Si(CH ₃) ₃	8	-2,91		Si(CH ₃) ₃ -0,05	CCl ₄
3	H ₃ C CH ₃ H ₃ C N-Si NH H ₃ C CH ₃	8	-2,92	n.b.	Si(CH ₃) ₂ -0,05	CCl ₄
)	H ₃ C CH ₃ H ₃ C CH ₃ H ₃ C CH ₃ CH ₃ H ₃ C CH ₃	8	-2,91		Si(CH ₃) ₂ -0,05	CCl ₄

Tab. 1

N:	r. Substanz	Lit.	$\begin{array}{c ccccccccccccccccccccccccccccccccccc$
	H ₃ C S N-P Ph ₃ Br B	2	-3,45 $-4,57$ $-7,76$ (D ₃ C) ₂ SO
	Ph Ph Ph 2 2 NO 3 Ph	9, 10	-4,42 $-5,54$ $-7,78$ (D ₃ C) ₂ SO
12	$\begin{bmatrix} Ph & Ph \\ N=P \\ N-P \\ Ph & Ph \end{bmatrix}^{\bigoplus} B_r^{\Theta}$	9, 10	-3,20 $-4,85$ $-7,75$ (D ₃ C) ₂ SO
13	Ph Ph	10	$-3,76$ n.b. $-7,65 \text{ (D}_3\text{C)}_2\text{SO}$
14	H ₃ C N-P N-P Ph Ph B B B B	10	-3,93 $-7,62$ CDCl ₃
15	Ph Ph H ₃ C-S N-P CH N-P Ph Ph	9, 10	-2,80 -1,71 -7,42 CDCl ₃
16	H ₃ C-S C-Br Ph Ph	11	-2,81 $-7,42$ CDCl ₃
17	Ph Ph H ₃ C-S N-P C-CH ₃ Ph Ph	11	$\begin{array}{cccccccccccccccccccccccccccccccccccc$
18	Ph Ph Ph Ph Ph	12	$-2,69$ $-7,26$ CDCl $_3$
19	Ph Ph Ph Br Ph Ph Ph	13	-1,92 $-7,60$ CDCl ₃

Tab. 1. Chemische Verschiebungen gegen TMS als innerem Standard.

niedrigerem Feld; umgekehrt bewirkt jedoch ein freies Elektronenpaar am Schwefel stärkere Abschirmung der Methylprotonen und damit eine Verschiebung des Signals nach höherem Feld. Die Verbindungen 10-17 fügen sich zwanglos in dieses Schema ein. Substanz 11 als zweifach geladenes Kation zeigt die geringste Abschirmung, es folgen als einfach positiv geladene Salze 14, 13 und 10, während die Monomethylverbindung 12 trotz ihrer positiven Ladung schon stärkere Abschirmung zeigt. Die stärkste Abschirmung findet sich bei den Substanzen 15, 16 und 17.

Die Methylen- bzw. Methinprotonen der Verbindungen 11, 12, 15, 18 und 19 zeigen ähnliches Verhalten. Am weitesten nach niedrigem Feld ist das Resonanzsignal der zweifach positiv geladenen Verbindung 11 verschoben, dann folgt die Substanz 12. Die Lage der Methylen- bzw. Methinabsorptionen von 15, 18 und 19 ist noch von anderen Effekten abhängig, die in Abschnitt 3 diskutiert werden.

Die Aromatenprotonen zeigen eine für Arylphosphine charakteristische Verschiebung und Aufspaltung. Ein repräsentatives Beispiel ist die Verbindung 15: Das Resonanzmultiplett der Phenylgruppen zeigt zwei Maxima bei -7.75 und -7.42 mit dem Integrationsverhältnis 2:3. Das Maximum bei niedrigerem Feld entspricht den zum Phosphor ortho-ständigen Protonen, das bei höherem Feld den Meta- und Para-Protonen.

II. Spin-Spin-Wechselwirkungen

Außer den oben erwähnten Kopplungen innerhalb des Phenylkerns zeigen nur wenige der untersuchten Verbindungen Spin-Spin-Wechselwirkungen zwischen zwei Protonen. Im S.S-Dimethyl-N-äthylsulfodiimin (3) findet sich eine normale Äthylkopplung. Auch die Methylprotonen der geladenen Ringverbindungen 11 und 12 weisen eine ¹H-¹H-Kopplung auf. Da die Bindungen sowohl an den beiden Phosphoratomen als auch am Kohlenstoff beider Substanzen sp3-hybridisiert sind, ist das Ringsystem an den P-Atomen gewinkelt. Wegen der daraus folgenden äquatorialen und axialen Einstellung zeigen die beiden CH2-Protonen unterschiedliche chemische Verschiebungen. Damit ist die Voraussetzung gegeben, miteinander zu koppeln. Da außerdem noch eine Wechselwirkung mit den benachbarten, völlig gleichwertigen Phosphoratomen stattfindet, spaltet das System zu einem ABX2-Multiplett auf. An diesem System wurde bei 90 MHz ein Doppelresonanz-Experiment durchgeführt. Strahlt man das Resonanzsignal des ³¹P als Störfrequenz von 3494 Hz ein, so zeigt sich eine deutliche Vereinfachung des Multipletts. Aus diesem Versuch konnte die 31P-1H-Kopplungskonstante zu J = 10.5 Hz bestimmt werden.

Die Kopplungskonstanten für die Wechselwirkung zwischen ³¹P und ¹H sind in Tab. 2 zusammengefaßt.

Nr.	Substanz	Lit.	$J [Hz] = \underline{P} NSC \underline{H}_3$	$J [\mathrm{Hz}] \ \underline{\mathrm{PCH}}_2 \underline{\mathrm{P}}$	Lösungs- mittel
10	H ₃ C N-P Ph ₃ H ₃ C N-H	2	1,3	_	(D ₃ C) ₂ SO
11	Ph Ph Ph 2 2 NO 3 2 Ph	9, 10	2,0	13	$(\mathrm{D_{3}C})_{2}\mathrm{SO}$
12	H ₃ C-S N=P CH ₂ Ph Ph Ph	9, 10	2,0	10,5	(D ₃ C) ₂ SO

Nr.	Substanz	Lit.	$J[\mathrm{Hz}] \ \underline{\mathrm{P}} - \mathrm{N} - \mathrm{C}\underline{\mathrm{H}}_3$	$J[ext{Hz}] \ \underline{ ext{P}} - ext{C}\underline{ ext{H}}_3$	Lösungs- mittel
13	H ₃ C N-P ⁶ CH B ₁ P	10	1,5	n.b.	$(\mathrm{D_3C})_2\mathrm{SO}$
14	H ₃ C N-P ⁶ N-P ⁶ N-P ⁶ Ph Ph	10	1,5	<u>, </u>	CDCl ₃
15	Ph Ph H ₃ C-S N-P CH N=P Ph Ph	9, 10	n.b.	n.b.	CDCl ₃
16	Ph Ph N-P C-Br N=P Ph Ph	11	n.b.	_	CDCl_3
17	Ph Ph H ₃ C-S N-P C-CH ₃ Ph Ph	11	0,6	P-C-P CH ₃ 15	$\mathrm{C_6D_6}$
18	Ph P-CH ₂ -P Ph	12	_	2	CDCl ₃
19	Ph	13	_	5,5	CDCl ₃
20	Ph CH ₃ Ph Ph Ph Ph Ph Ph	14	12,5	_	CDCl_3
21	Ph-P N-CH ₂ CH ₃	15	14,5	_	ohne
22	Ph N-CH ₂ OH ₃ P J P	15	11,5	13,5	CDCl_3

Tab. 2. Spin-Spin-Kopplungen.

Eine eindeutige $^{1}P^{-1}H$ -Kopplung liegt in der Verbindung 17 vor. Das Signal der C-Methylgruppe zwischen den beiden Phosphoratomen ist zu einem Triplett mit der Kopplungskonstante J=15 Hz aufgespalten. Dieser Befund beweist die vollkommene Äquivalenz der beiden P-Atome.

Anhand der Verbindungen 20 bis 22 kann gezeigt werden, daß auch ³¹P-¹H-Kopplungen über Stickstoff und Kohlenstoff hinweg mit relativ großer Kopplungskonstante erfolgen können. Nur die Protonen einer direkt an den Phosphor gebundenen Methylgruppe, wie sie in Substanz 22 vorliegt, zeigen geringfügig stärkere Kopplung. Am Beispiel der Substanz 20 kann man sehr deutlich erkennen, daß eine ³¹P-¹H-Wechselwirkung über zwei Stickstoffatome und ein Kohlenstoffatom nicht mehr möglich ist.

Die Kopplung über drei oder noch mehr Atome hinweg - auch Long-Range-Kopplung genannt taucht jedoch überraschenderweise in den Verbingungen 10 bis 14 und 17 auf. Dabei spaltet die S-Methylgruppe der Verbindung 10 zu einem Dublett auf, da hier nur ein P-Atom für die Kopplung zur Verfügung steht, während die S-Methylsignale von 11 bis 14 und 17 zu Tripletts aufspalten. Daß es sich wirklich um eine echte Spin-Spin-Wechselwirkung handelt, wurde im Fall der Substanzen 12 und 14 durch Messungen bei höherer Frequenz (90 MHz) nachgewiesen. Dabei zeigte sich keine Verbreiterung der Linienabstände des Multipletts. Der endgültige Beweis der Long-Range-Kopplung über 4 Bindungen hinweg wurde mit Doppelresonanzmessungen erbracht. Strahlt man die zum ³¹P-Resonanzsignal gehörende Frequenz von 3494 Hz ein, so vereinfacht sich das Triplett zu einem Singulett (Abb. 1).

In der Literatur sind bereits mehrere Verbindungen beschrieben, die ³¹P-¹H-Long-Range-Kopplungen zeigen ¹⁶⁻²⁶. Im allgemeinen werden dabei mehrere Kohlenstoffatome überbrückt, in selteneren

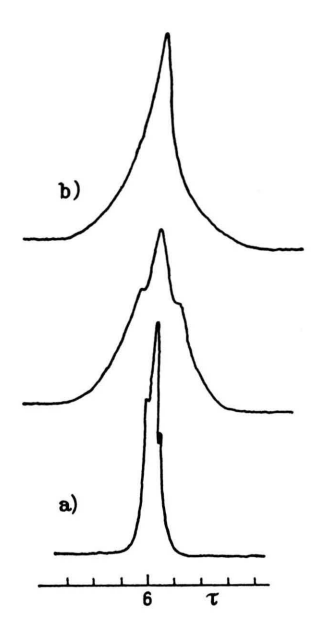


Abb. 1. a) Protonenresonanz-Spektrum von Verbindung 14, aufgenommen bei 60 MHz. b) Entkopplung des Signals bei $\delta = -3.93$ ppm durch Einstrahlen der 31 P-Resonanzfrequenz (3494 Hz), aufgenommen bei 90 MHz.

Fällen auch ein Heteroatom. Die Kopplung über zwei Heteroatome und ein C-Atom hinweg, wie sie in unseren Verbindungen vorliegt, war uns bisher unbekannt. Die Kopplungskonstanten dieser Long-Range-Kopplung betragen für die positiv geladenen Verbindungen 10 bis 14 1,5 bis 2,5 Hz. In den nichtgeladenen Verbindungen ist die Kopplung kleiner (0,6 Hz in 17) oder nicht mehr feststellbar (15). Es scheint also, daß diese Spin-Spin-Wechselwirkung durch positive Ladungen begünstigt wird.

III. Austauscheffekte

Die Methylen- bzw. Methin-Gruppen der Verbindungen 15, 17 und 19 zeigen nicht mehr die Gesetzmäßigkeiten, die oben für chemische Verschie-

¹² W. Hewertson u. H. R. Watson, J. chem. Soc. [London] 1962, 1492.

¹³ J. S. DRISCOLL, D. W. GRISLEY JR., J. V. PUSTINGER, J. E. HARRIS u. C. N. MATTHEWS, J. org. Chemistry 29, 2427 [1964].

¹⁴ G. Siegemund, Dissertation, Bonn 1968.

¹⁵ H. O. HOPPEN, Diplomarbeit, Bonn 1967.

¹⁶ H. Zimmer, J. physic. Chem. 67, 2509 [1963].

¹⁷ W. G. Bentrude u. E. R. Witt, J. Amer. chem. Soc. 85, 2522 [1963].

¹⁸ K. KHALEELUDDIN u. J. M. W. Scott, Chem. and Ind. **1966**, 1034.

¹⁹ K. Khaleeluddin u. J. M. W. Scott, Chem. Commun. 1966, 511.

²⁰ R. LITTLE u. P. F. HARTMANN, J. Amer. chem. Soc. **38**, 96 [1966].

²¹ D. J. Martin, M. Gordon u. C. E. Griffin, Tentrahedron [London] 22, 561 [1966].

²² J. F. Nixon u. R. Schmutzler, Spectrochim. Acta [London] 22, 565 [1966].

²³ M. Gordon u. C. E. Griffin, J. org. Chemistry 31, 333 [1966].

²⁴ C. E. Griffin u. M. Gordon, J. Amer. chem. Soc. 89, 4427 [1967].

²⁵ J. Herweh, J. org. Chemistry 34, 2422 [1966].

²⁶ T. H. Siddall u. W. E. Stewart, Spectrochim. Acta [London] **24** A, 81 [1968].

bungen gefunden wurden. Obwohl die Substanz 19 einfach positiv geladen ist, absorbiert sie bei höherem Feld als das elektroneutrale Bis-[diphenylphosphino-]-methan (18), dessen CH₂-Signal bei – 2,69 ppm liegt. Die CH-Protonen der Verbindungen 15 und 19 zeigen die für vinylische Protonen anomale Verschiebung von – 1,71 bzw. – 1,92 ppm. Daraus kann man schließen, daß die PCP-Gruppierung der Substanzen 15 und 19 nicht als Resonanzhybrid der Formen a und b vorliegt, sondern mehr Ylidcharakter (Formel c) mit einem freien Elektronenpaar am Kohlenstoff hat.

a)
$$P \subset P$$
 b) $P \subset P$ c) $P \subset P$

Diese Auffassung kann durch einige an der Methingruppe beobachtete Austauscheffekte belegt werden: Die CH-Gruppe von 15 spaltet nicht zu einem Triplett auf, wie man es gemäß ihrer Stellung erwarten sollte. Es zeigt sich nur ein etwas verbreitertes Singulett, das auch bei $-30\,^{\circ}$ C keine Veränderungen zeigt. Diese Erscheinung muß auf einen raschen intermolekularen Austausch des Methinprotons zurückgeführt werden. Bestmann und Mitarbb. ²⁷ beobachteten ebenfalls das Ausbleiben einer ³¹P-¹H-Kopplung in einigen Phosphoryliden.

Schüttelt man die CDCl₃-Lösungen der Verbindungen 15 und 19 mit D₂O durch, so tauschen die Methinprotonen gegen Deuterium aus; bei einer anschließenden NMR-Messung fehlt das betreffende Resonanzsignal (Abb. 2).

Diese Effekte können zwanglos mit der Ylidstruktur der Verbindungen 15 und 19 erklärt werden. Das freie Elektronenpaar am Kohlenstoff ermöglicht die elektrophile Substitution des an den Kohlenstoff gebundenen Protons durch ein anderes oder durch ein Deuterium-Kation:

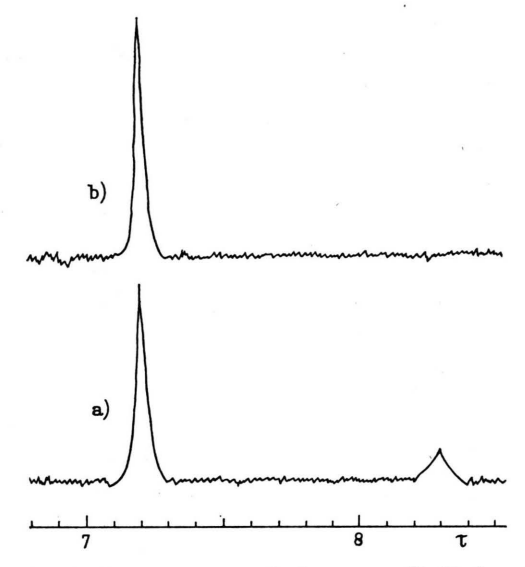


Abb. 2. a) Protonenresonanz-Spektrum von Verbindung 15, aufgenommen bei 60 MHz, b) nach Behandeln mit D₂O.

Experimentelles

Die Luft- und Feuchtigkeits-empfindlichen Proben wurden unter Stickstoff in absoluten Lösungsmitteln gelöst und in die Meßröhrchen gefüllt. 1.3-Dimethyl-2-phenyl-diazaphospholidin-1.3.2 (21) wurde ohne Lösungsmittel vermessen. Als innerer Standard diente Tetramethylsilan.

Die Messungen bei 60 MHz wurden mit einem Spektrometer A 60 der Firma Varian aufgenommen. Die Untersuchungen bei 90 MHz und die Doppelresonanz-Experimente haben freundlicherweise die Herren Dr. Tschopp und Keller von der Firma Spektrospin an deren Spektromenter HFX-3 durchgeführt. Dafür möchten wir an dieser Stelle herzlich danken.

²⁷ H. J. Bestmann u. J. P. Snyder, J. Amer. chem. Soc. 89, 3936 [1967].